

ЛАБОРАТОРНАЯ РАБОТА С ПРИМЕНЕНИЕМ ПК №3

Тема: исследование управления манипулятором .

Цель работы: приобретение опыта динамического описания движения плоских механизмов (метода Лагранжа); ознакомление с методикой решения обратных задач динамики механических систем.

1. Постановка задачи

Рассматривается механическая система типа манипулятора с двумя степенями свободы, движущаяся в горизонтальной плоскости xOy (рис.1). Геометрические и динамические параметры считаются заданными, силы трения в кинематических парах и деформации элементов конструкции отсутствуют.

Требуется определить управляющие усилия, обеспечивающие за время τ сближение захвата C и движущейся детали D , и мощности двигателей управления. Деталь движется прямолинейно с постоянной скоростью V_D в указанном направлении. Начальное положение манипулятора задано обобщёнными координатами s_0, φ_0 . а детали—декартовыми координатами x_{D0}, y_{D0} . К моменту времени $t=\tau$ отношение рассогласований координат захвата и детали к начальным рассогласованиям должно составлять малую величину δ .

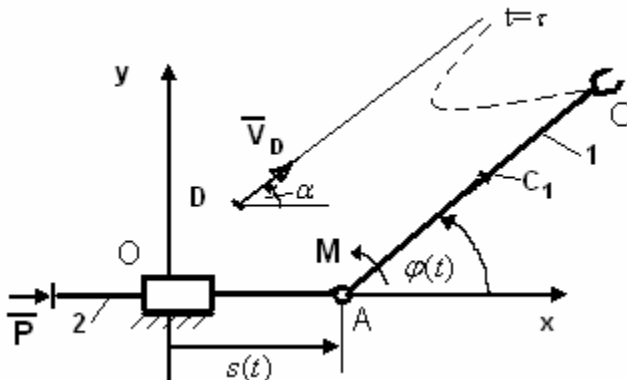


Рис.1. Схема манипулятора

Для рассматриваемого манипулятора приняты следующие значения параметров: $AC = l = 1\text{ м}$ — длина звена 1; $AC_1 = l_1 = 0,5\text{ м}$ — расстояние до центра масс этого звена; $m_1 = 3\text{ кг}$, $m_2 = 2\text{ кг}$ — массы звеньев; $I_1 = 0,8\text{ кг}\cdot\text{м}^2$ — центральный момент инерции 1-го звена относительно оси, перпендикулярной плоскости движения; $V_D = 2\text{ м/с}$ — скорость детали; $\alpha = 0\text{ рад.}$, $\tau = 1\text{ с}$ — время сближения; $x_{D0} = 0$, $y_{D0} = 0,5\text{ м}$, $s_0 = 0$, $\varphi_0 = -\pi/4\text{ рад.}$

Вычислить управляющие силу $P(t)$ и момент $M(t)$; мощности двигателей $N_1(t)$ и $N_2(t)$; изменения во времени обобщённых координат $s(t), \varphi(t)$ и декартовых координат захвата x_C, y_C .

2. Дифференциальные уравнения движения системы

Дифференциальные уравнения движения составляем в форме уравнений Лагранжа 1-го рода, которые для данной механической системы имеют вид

$$\frac{d}{dt} \frac{\partial T}{\partial \dot{s}} - \frac{\partial T}{\partial s} = Q_s, \quad \frac{d}{dt} \frac{\partial T}{\partial \dot{\varphi}} - \frac{\partial T}{\partial \varphi} = Q_\varphi, \quad (2.1)$$

где T -кинетическая энергия, Q_s, Q_φ -обобщённые силы , соответствующие обобщённым координатам s, φ . Точка сверху означает производную по времени.

Вычисляем кинетическую энергию системы T как функцию обобщённых скоростей $\dot{s}, \dot{\varphi}$ и обобщённых координат s, φ . Эта энергия равна сумме кинетических энергий звеньев.

Кинетическая энергия звена 1, совершающего плоское движение, вычисляется по теореме Кёнига

$$T_1 = \frac{m_1 V_{C_1}^2}{2} + \frac{I_1 \omega_1^2}{2}, \quad (2.2)$$

где V_{C_1} - скорость центра масс C_1 , $\omega_1 = \dot{\varphi}$ -угловая скорость звена 1.

Кинетическая энергия звена 2, движущегося поступательно, имеет вид

$$T_2 = \frac{m_2 V_2^2}{2}, \quad (2.3)$$

где $V_2 = \dot{s}$ - скорость звена 2.

Скорость точки C_1 вычисляем координатным способом. Согласно рисунку 1 координаты этой точки равны

$$x_{C_1} = s + l_1 \cos \varphi, \quad y_{C_1} = l_1 \sin \varphi.$$

Дифференцируя эти выражения по времени, получаем

$$V_{C_1}^2 = (\dot{s} - l_1 \dot{\varphi} \sin \varphi)^2 + (l_1 \dot{\varphi} \cos \varphi)^2 = \dot{s}^2 + l_1^2 \dot{\varphi}^2 - 2l_1 \dot{s} \dot{\varphi} \sin \varphi. \quad (2.4)$$

Учитывая (2.2-2.4), кинетическую энергию системы записываем в виде

$$T = \frac{1}{2}(m_1 + m_2)\dot{s}^2 + \frac{1}{2}(m_1 l_1^2 + I_1)\dot{\varphi}^2 - m_1 l_1 \dot{s} \dot{\varphi} \sin \varphi. \quad (2.5)$$

Для определения обобщённой силы Q_s мысленно накладываем на систему связь $\varphi = const$ и, сообщив системе возможную скорость \dot{s} , вычисляем сумму возможных мощностей активных сил, действующих на нее

$$N_s = P \cdot \dot{s} = Q_s \cdot \dot{s}$$

отсюда имеем

$$Q_s = P. \quad (2.6)$$

Аналогично, мысленно накладываем на систему связь $s = const$ и сообщаем ей возможную скорость $\dot{\varphi}$, получаем выражение возможной мощности

$$N_\varphi = M \cdot \dot{\varphi} = Q_\varphi \cdot \dot{\varphi}$$

отсюда

$$Q_\varphi = M. \quad (2.7)$$

Используя (2.5), вычисляем значения слагаемых в уравнениях Лагранжа

$$\frac{\partial T}{\partial \dot{s}} = (m_1 + m_2)\dot{s} - m_1 l_1 \dot{\varphi} \sin \varphi, \quad \frac{\partial T}{\partial s} = 0;$$

$$\frac{d}{dt} \frac{\partial T}{\partial \dot{s}} = (m_1 + m_2)\ddot{s} - m_1 l_1 \ddot{\varphi} \sin \varphi - m_1 l_1 \dot{\varphi}^2 \cos \varphi;$$

(2.8)

$$\frac{\partial T}{\partial \dot{\varphi}} = (m_1 l_1^2 + I_1) \dot{\varphi} - m_1 l_1 \dot{s} \sin \varphi, \quad \frac{\partial T}{\partial \dot{\varphi}} = -m_1 l_1 \dot{s} \dot{\varphi} \cos \varphi;$$

$$\frac{d}{dt} \frac{\partial T}{\partial \dot{\varphi}} = (m_1 l_1^2 + I_1) \ddot{\varphi} - m_1 l_1 \ddot{s} \sin \varphi - m_1 l_1 \dot{s} \dot{\varphi} \cos \varphi.$$

Подставляя (2.6—2.8) в (2.1), получаем уравнения для определения управляющих усилий P и M

$$\begin{aligned} (m_1 + m_2) \ddot{s} - m_1 l_1 \ddot{\varphi} \sin \varphi - m_1 l_1 \dot{\varphi}^2 \cos \varphi &= P; \\ (m_1 l_1^2 + I_1) \ddot{\varphi} - m_1 l_1 \ddot{s} \sin \varphi &= M. \end{aligned} \quad (2.9)$$

3. Программа движения

Управление движением захвата предполагает, что линейные комбинации рассогласований координат и их производных в каждый момент времени равны нулю, т. е. выполнения равенств

$$\Delta x + T^* \Delta \dot{x} = 0, \quad \Delta y + T^* \Delta \dot{y} = 0, \quad (3.1)$$

где $\Delta x = x_D - x_C$, $\Delta y = y_D - y_C$ - рассогласования координат детали D и захвата C ; $T^* = \text{const}$ - коэффициент управления.

Интегрируя (3.1), получаем

$$\Delta x = \Delta x(0) \cdot e^{-\frac{t}{T^*}}, \quad \Delta y = \Delta y(0) \cdot e^{-\frac{t}{T^*}}. \quad (3.2)$$

Здесь $\Delta x(0) = x_{D0} - x_{C0}$, $\Delta y(0) = y_{D0} - y_{C0}$ - начальные рассогласования координат; x_{C0}, y_{C0} - координаты захвата в начальный момент времени $t=0$.

Параметр T^* определяем из условия относительной точности сближения к моменту времени $t = \tau$

$$\frac{\Delta x(\tau)}{\Delta x(0)} = \frac{\Delta y(\tau)}{\Delta y(0)} = \exp\left(-\frac{\tau}{T^*}\right) = \delta.$$

Отсюда

$$T^* = -\tau / \ln \delta. \quad (3.3)$$

Уравнения движения захвата C , в соответствии с (3.2), записываем в виде

$$\begin{aligned} x_C &= x_D - (x_{D0} - x_{C0}) \cdot \exp(-t/T^*); \\ y_C &= y_D - (y_{D0} - y_{C0}) \cdot \exp(-t/T^*). \end{aligned} \quad (3.4)$$

Для рассматриваемого случая

$$x_D = V_D \cdot \cos \alpha \cdot t + x_{D0}, \quad y_D = V_D \cdot \sin \alpha \cdot t + y_{D0} \quad (3.5)$$

есть закон движения детали.

Из рисунка 1 устанавливаем связь между декартовыми координатами захвата C и обобщёнными координатами манипулятора

$$x_C = s + l \cdot \cos \varphi, \quad y_C = l \cdot \sin \varphi. \quad (3.6)$$

Полагая $s = s_0, \varphi = \varphi_0$ по формулам (3.6) вычисляем начальные координаты захвата x_{C0}, y_{C0} . Приравняв правые части выражений (3.4) и (3.6), получаем систему трансцендентных уравнений относительно s и φ

$$\begin{aligned} s + l \cdot \cos \varphi &= x_D - (x_{D0} - x_{C0}) \cdot \exp(-t/T^*); \\ l \cdot \sin \varphi &= y_D - (y_{D0} - y_{C0}) \cdot \exp(-t/T^*). \end{aligned} \quad (3.7)$$

Эти уравнения, являющиеся программой движения в конечной форме, накладывают ограничения на изменения обобщённых координат при сближении захвата и детали. Дифференцируя (3.7) по времени имеем

$$\dot{s} - l\dot{\varphi} \sin \varphi = \dot{x}_C, \quad l\dot{\varphi} \cos \varphi = \dot{y}_C, \quad (3.8)$$

где

$$\begin{aligned} \dot{x}_C &= V_D \cos \alpha + (x_{D0} - x_{C0}) \cdot \exp(-t/T^*)/T^*; \\ \dot{y}_C &= V_D \sin \alpha + (y_{D0} - y_{C0}) \cdot \exp(-t/T^*)/T^*. \end{aligned} \quad (3.9)$$

Решая систему уравнений (3.8) относительно $\dot{\varphi}, \dot{s}$, получаем программу движения в дифференциальной форме, которая устанавливает связь между обобщёнными скоростями и скоростью захвата

$$\dot{\varphi} = \frac{\dot{y}_C}{l \cos \varphi}, \quad \dot{s} = \dot{x}_C + \dot{y}_C \cdot \operatorname{tg} \varphi. \quad (3.10)$$

Из (3.8) следует

$$\ddot{s} - l\ddot{\varphi} \sin \varphi - l\dot{\varphi}^2 \cos \varphi = \ddot{x}_C, \quad l\ddot{\varphi} \cos \varphi - l\dot{\varphi}^2 \sin \varphi = \ddot{y}_C.$$

Отсюда получаем обобщённые ускорения, необходимые для вычисления управляющих усилий

$$\ddot{\varphi} = \frac{\ddot{y}_C + l\dot{\varphi}^2 \sin \varphi}{l \cos \varphi}, \quad \ddot{s} = \ddot{x}_C + l\dot{\varphi}^2 \cos \varphi + \operatorname{tg} \varphi \cdot (\dot{y}_C + l\dot{\varphi}^2 \sin \varphi). \quad (3.11)$$

Здесь \ddot{x}_C, \ddot{y}_C определяются дифференцированием по времени равенств (3.9)

$$\ddot{x}_C = -(x_{D0} - x_{C0}) \cdot \exp(-t/T^*)/T^{*2}, \quad \ddot{y}_C = -(y_{D0} - y_{C0}) \cdot \exp(-t/T^*)/T^{*2}. \quad (3.12)$$

4. Алгоритм решения задачи о сближении

В начале счёта присваиваются числовые значения параметрам задачи: $m_1, m_2, l_1, l, V_D, \alpha, x_{D0}, y_{D0}, s_0, \varphi_0, \tau, \delta$. Затем по формуле (3.3) вычисляется коэффициент управления T^* , по (3.6) — начальные координаты захвата x_{C0}, y_{C0} . Используя (3.9), численно получают решение системы дифференциальных уравнений (3.10) в момент времени t . В этот же момент времени вычисляются: \ddot{x}_C, \ddot{y}_C по (3.12); $\ddot{\varphi}, \ddot{s}$ по (3.11); по (2.9) управляющие усилия P, M и мощности двигателей по формулам

$$N_1 = M \cdot \dot{\varphi}, \quad N_2 = P \cdot \dot{s}. \quad (4.1)$$

Траектории захвата и детали получаются соответственно по (3.6) и (3.5). Полученные координаты захвата сравниваются с координатами вычисленными по (3.4).

Процесс вычислений продолжается до момента $t = \tau$. Результаты счёта оформляются в виде графиков.

Все вычисления проводим с использованием стандартных методов Mathcad

5. Численное решение задачи

Текстовый курсор ввода появляется после нажатия клавиши <">. (Шрифт должен быть Arial CYR)

Исходные данные задачи:

Оператор присваивания ":=" вводится клавишей <:=>.

$m1 := 3$ $m2 := 2$ $IC := 1$ $I1 := 0.5$ $IN := 0.8$ $VD := 2$ $xD0 := 0$ $yD0 := 0$
 $\tau := 1$ - время сближения. $s0 := 0$

$\alpha := \frac{\pi}{6}$ $\phi0 := -\left(\frac{\pi}{4}\right)$ $\delta := 0.01$ точность сближения. $\phi0 = -0.785$

Вычисляем коэффициент управления и начальные координаты захвата

$xC0 := s0 + IC \cdot \cos(\phi0)$ $yC0 := IC \cdot \sin(\phi0)$

$T1 := -\left(\frac{\tau}{\ln(\delta)}\right)$ $T1 = 0.217$ $xC0 = 0.707$ $yC0 = -0.707$

Вычисляем траектории детали и захвата

$xD(t) := VD \cdot \cos(\alpha) \cdot t + xD0$ $yD(t) := VD \cdot \sin(\alpha) \cdot t + yD0$

$\Delta x := xD0 - xC0$ $\Delta y := yD0 - yC0$ $\Delta x = -0.707$ $\Delta y = 0.707$

$xC(t) := xD(t) - \Delta x \cdot e^{\frac{-t}{T1}}$ $yC(t) := yD(t) - \Delta y \cdot e^{\frac{-t}{T1}}$

Решение трансцендентных уравнений (3.6) с использованием вычислительного блока Given

[Нумерация индексов элементов матрицы начинается со значения, задаваемого встроенной переменной ORIGIN, по умолчанию равной нулю]

ORIGIN := 1 {Нумерация строк и столбцов в этом случае начинается с единицы}

$\alpha s := \begin{pmatrix} s0 \\ \phi0 \end{pmatrix}$ {Начальное приближение}

Given

(Здесь символ равенства записывается с помощью логического оператора равенства, вызываемого кнопкой = панели инструментов "Булевый" или комбинацией клавиш <Ctrl>+<=>.)

$\alpha s_1 + IC \cdot \cos(\alpha s_2) = xC(t)$

$IC \cdot \sin(\alpha s_2) = yC(t)$

$\alpha s(t) := \text{Find}(\alpha s)$

$\alpha s(0.75) = \begin{pmatrix} 0.635 \\ 0.815 \end{pmatrix}$ $\alpha s(\tau) = \begin{pmatrix} 1.62 \\ 1.452 \end{pmatrix}$

$$s(t) := \alpha s(t)_1 \quad \phi(t) := \alpha s(t)_2$$

$$x_{Ct}(t) := VD \cdot \cos(\alpha) + \left(\frac{\Delta x}{T1}\right) \cdot e^{-\frac{t}{T1}} \quad y_{Ct}(t) := VD \cdot \sin(\alpha) + \left(\frac{\Delta y}{T1}\right) \cdot e^{-\frac{t}{T1}}$$

$$st(t) := x_{Ct}(t) + y_{Ct}(t) \cdot \tan(\phi(t))$$

$$\phi t(t) := \frac{y_{Ct}(t)}{IC \cdot \cos(\phi(t))}$$

$$x_{Ctt}(t) := -\left(\frac{\Delta x}{T1^2}\right) \cdot e^{-\frac{t}{T1}} \quad y_{Ctt}(t) := -\left(\frac{\Delta y}{T1^2}\right) \cdot e^{-\frac{t}{T1}}$$

$$stt(t) := x_{Ctt}(t) + IC \cdot \left(\frac{\phi t(t)^2}{\cos(\phi(t))}\right) + y_{Ctt}(t) \cdot \tan(\phi(t))$$

$$\phi tt(t) := \frac{(y_{Ctt}(t) + IC \cdot \phi t(t)^2 \cdot \sin(\phi(t)))}{IC \cdot \cos(\phi(t))}$$

$$P(t) := (m1 + m2) \cdot stt(t) - m1 \cdot l1 \cdot \phi tt(t) \cdot \sin(\phi(t)) - m1 \cdot l1 \cdot \phi t(t)^2 \cdot \cos(\phi(t))$$

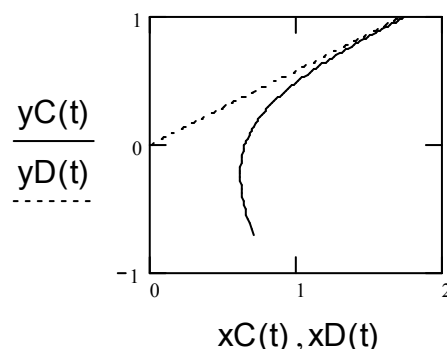
$$M(t) := [m1 \cdot (l1)^2 + IN] \cdot \phi tt(t) - m1 \cdot l1 \cdot stt(t) \cdot \sin(\phi(t))$$

$$Nm(t) := M(t) \cdot \phi t(t) \quad Np(t) := P(t) \cdot st(t)$$

$$x(t) := s(t) + IC \cdot \cos(\phi(t)) \quad y(t) := IC \cdot \sin(\phi(t))$$

$$\Delta t := \frac{\tau}{100} \quad t := 0, \Delta t .. \tau \quad \text{Здесь оператор " .. " вводится клавишей < ; >}$$

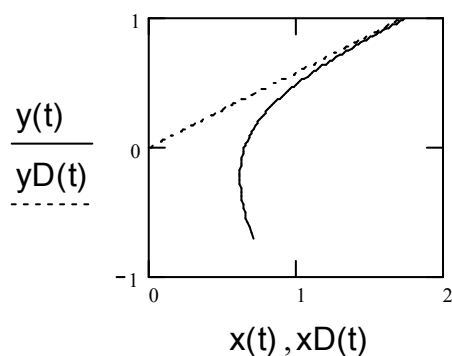
Траектории сближения



$$xD(0)=0 \quad yD(0) = 0 \quad \frac{\alpha}{\text{deg}} = 30 \quad xD(\tau) = 1.732 \quad yD(\tau) = 1$$

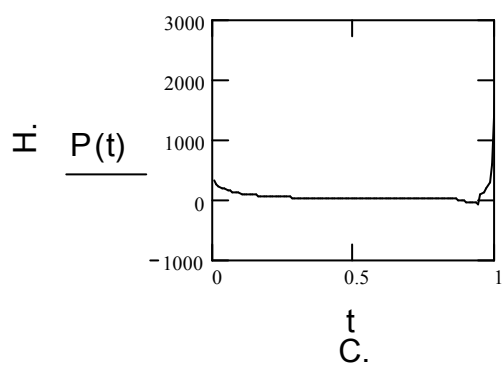
$$xC(0) = 0.707 \quad yC(0) = -0.707 \quad xC(\tau) = 1.739 \quad yC(\tau) = 0.993$$

Проверка траекторий сближения



$$x(0) = 0.707 \quad y(0) = -0.707 \quad x(\tau) = 1.739 \quad y(\tau) = 0.993$$

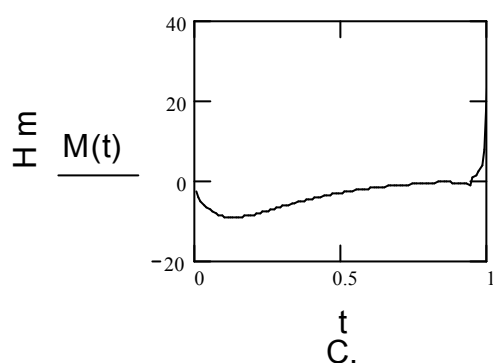
Зависимости управляющих усилий от времени при сближении захвата с деталью.



$$P(0) = 306.81 \text{ Н} \quad P(\tau) = 2.227 \times 10^3 \text{ Н}$$

Минимальное значение P

$$P(0.94) = -75.005 \text{ Н}$$

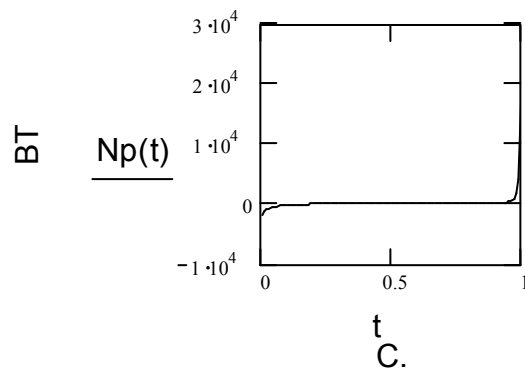


$$M(0) = -2.872 \text{ Н м} \quad M(\tau) = 31.332 \text{ Н м}$$

Минимальное значение M

$$M(0.13) = -9.283 \text{ Н м}$$

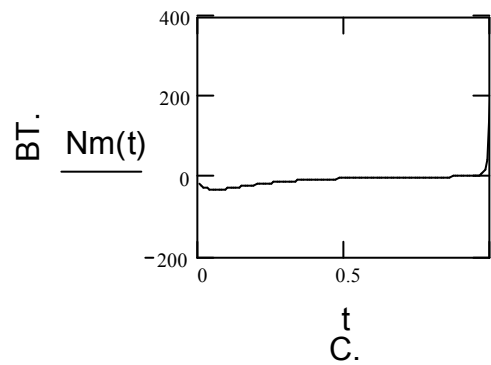
Изменения мощностей двигателей во времени при сближении захвата с деталью.



$$N_p(0) = -1.774 \times 10^3 \text{ Вт} \quad N_p(\tau) = 2.302 \times 10^4 \text{ Вт}$$

Минимальное значение N_p

$$N_p(0) = -1.774 \times 10^3 \text{ Вт}$$



$$N_m(0) = -17.288 \text{ Вт} \quad N_m(\tau) = 272.537 \text{ Вт}$$

Минимальное значение N_m

$$N_m(0.06) = -31.349 \text{ Вт}$$

Мощности двигателей должны быть :
 для первого звена $N_m > 280 \text{ Вт} = 0.28 \text{ кВт}$,
 для второго звена $N_p > 24000 \text{ Вт} = 24 \text{ кВт}$.